

Niveau des nappes

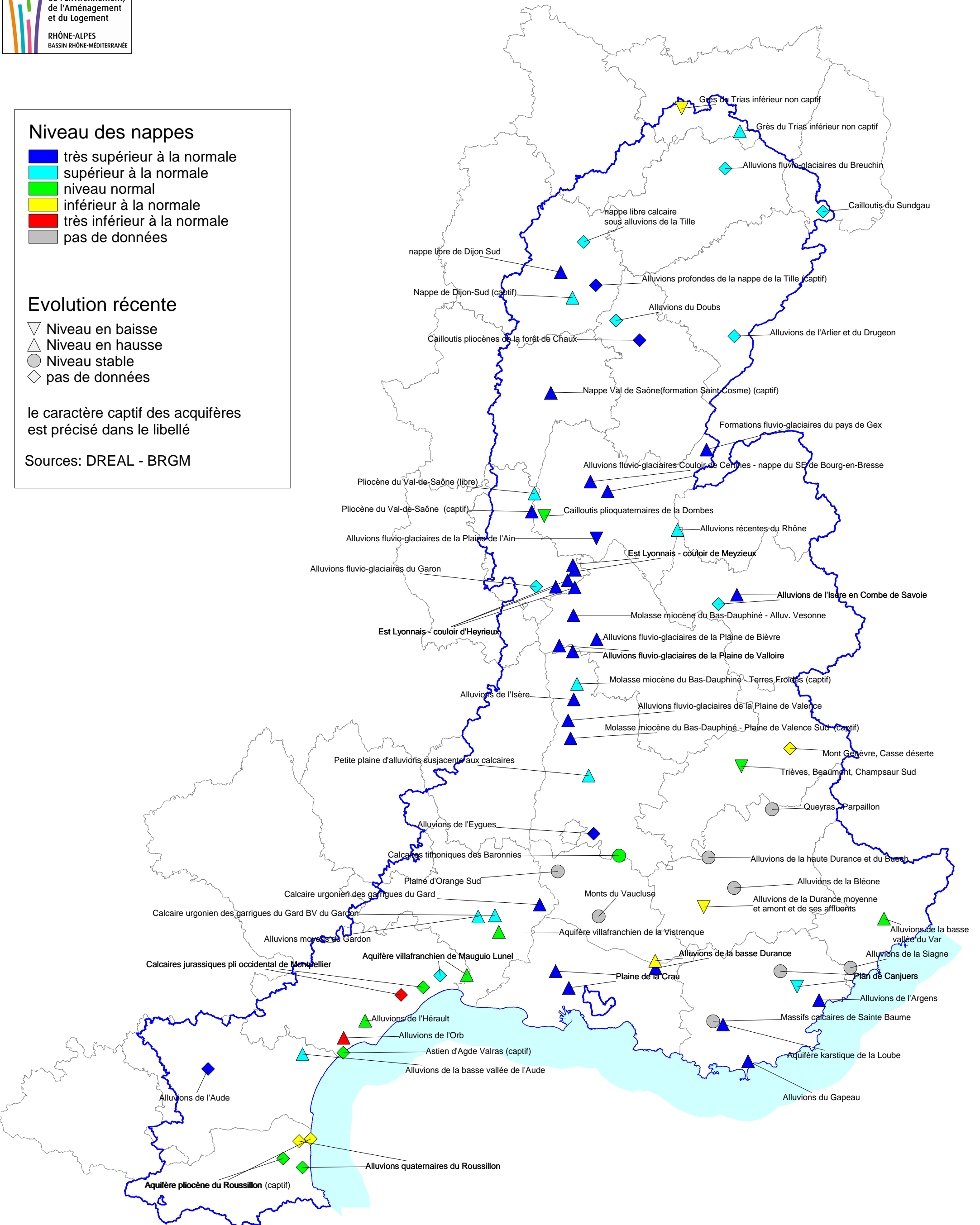
- très supérieur à la normale
- supérieur à la normale
- niveau normal
- inférieur à la normale
- très inférieur à la normale
- pas de données

Evolution récente

- ▽ Niveau en baisse
- ▲ Niveau en hausse
- Niveau stable
- ◇ pas de données

le caractère captif des aquifères est précisé dans le libellé

Sources: DREAL - BRGM



BSH - Indicateurs Ponctuels (IP) du bassin Rhône-Méditerranée

Etat au : **1er mars 2014**

Relais bassin : DREAL bassin Rhône-Méditerranée

Producteurs(s) : BRGM et DREAL(s)

Niveau des nappes :

| Code | Signification |
|------|-----------------------------|
| 5 | Très supérieur à la normale |
| 4 | Supérieur à la normale |
| 3 | Niveau normal |
| 2 | Inférieur à la normale |
| 1 | Très inférieur à la normale |
| 0 | Indéterminé |

Evolution

| Code |
|-------------|
| H = Hausse |
| S = Stable |
| B = Baisse |
| Indéterminé |

| Code BSS (indice / désignation) | Région | Dépt. | Commune | Lieu-dit (ou nom du point) | Lambert 2 Etendu (m) | | Entité hydrogéologique (Réf BDRHF v1) | | Indicateur national | Niveau des nappes | Evolution récente | Commentaires |
|---------------------------------|--------|-------|-------------------------|--|----------------------|-----------|---|-------|---------------------|-------------------|-------------------|---|
| | | | | | X | Y | Nom | Code | | | | |
| 03387X0040/S | LOR | 88 | RELANGES | piezomètre Srael de Relanges | 872 960 | 2 353 300 | Grès du Trias inférieur non captif | 210b | | 2 | B | Les niveaux piézométriques de la nappe des Grès du Trias inférieur non captif du bassin versant de la Saône évoluent légèrement par rapport au mois précédent, évolution à la hausse sur le sud à Plombières-les-Bains et à la baisse au nord à Relanges. |
| 03754X0015/F2 | LOR | 88 | PLOMBIERE les Bains | F2 dit source La Napoléonienne | 906 710 | 2 340 000 | Grès du Trias inférieur non captif | 210b | | 4 | H | |
| 04447X0028 | FRC | 90 | FLORIMONT | Etang Fourchu | 955 010 | 2 293 220 | Cailloutis du Sundgau | 173 | IG n°23 | 4 | S | Les nappes de cailloutis (Florimont, Oussières) présentent des niveaux stables durant tout le mois de février. Les niveaux sont très favorables avec une période de retour proche de 10 ans humide pour Florimont et supérieure à 10 ans humide pour Oussières. |
| 05553X0009 | FRC | 39 | OUSSIÈRE | Oussière | 848 465 | 2 218 410 | Cailloutis pliocènes de la forêt de Chaux | 104a | | 5 | S | |
| 05285X0374 | FRC | 39 | MOLAY | Tavaux | 834 860 | 2 229 830 | Alluvions du Doubs | 102 | | 4 | S | |
| 05573X0084 | FRC | 25 | DOMMARTIN | Houtaud | 903 460 | 2 220 820 | Alluvions de l'Arlier et du Drugeon | 94i | | 4 | S | |
| 04103X0022 | FRC | 70 | BREUCHES | Forage C | 898 290 | 2 318 270 | Alluvions fluvioglaciers du Breuchin | 85 | | 4 | S | |
| 05007X0014 | BOU | 21 | COLLONGES LES PREMIERES | Les Champs Courbes | 823 040 | 2 250 420 | Alluvions profondes de la nappe de la Tille | 174a | | 5 | S | |
| 04994X0229 | BOU | 21 | CHENOVE | Gendarmerie | 802 730 | 2 258 070 | Nappe libre de Dijon Sud | 174 b | | 5 | H | |
| 05271X0017 | BOU | 21 | IZEURE | La plantation F9 | 809 500 | 2 243 140 | Nappe de Dijon-Sud | 174b | | 4 | H | |
| 04702X0019 | BOU | 21 | SPOY | Les Espeliers | 816 100 | 2 275 557 | Nappe libre calcaire sous alluvions de la Tille | 99 a | | 4 | S | |
| 05797X0145 | BOU | 71 | SAINT CYR | Le Petit Chorme de Vieil Moulin | 796 970 | 2 187 840 | Nappe Val de Saône(formation Saint Cosme) | 174g | | 5 | H | |
| 06288X0096/SB | RHA | 01 | GEX | Forage PzB - Belle Ferme | 887 355 | 2 154 890 | Formations fluvioglaciers du pays de Gex | 177 | IG n°24 | 5 | H | La nappe du Pays de Gex poursuit sa hausse, très régulière, durant le mois de Février. Les niveaux, très hauts, progressent encore pour la saison (au-dessus de la fréquence décennale de hautes-eaux). Le secteur de Greny reste toujours déprimé et tend à stagner après un léger ressaut. La situation relative ne change pas par rapport au mois précédent. |
| 06775X0010/BOURSI | RHA | 01 | ANGLEFORT | Piezomètre de Boursin - BRGM | 870 540 | 2 108 160 | Alluvions récentes du Rhône (marais de Chautagne et Lavours) | 542 | | 4 | H | La nappe des alluvions de la plaine du Rhône repart à la hausse durant tout le mois de Février. Ses niveaux progressent à des valeurs de hautes-eaux quinquennales. La situation relative évolue favorablement. |
| 06512X0037/STREMY | RHA | 01 | ST REMY | Forage St Rémy - BRGM | 819 980 | 2 136 280 | Alluvions fluvioglaciers Couloir de Certines - nappe du SE de Bourg-en-Bresse | 151a | | 5 | H | La nappe des dépôts plio-quaternaires de la Dombes-Bresse reste en tendance haussière durant tout Février. Les très hauts niveaux se relèvent encore (désormais entre fréquences plus que décennales de hautes-eaux pour la saison), en période habituelle de baisse. Dans ce contexte, la situation relative n'évolue pas par rapport au mois précédent. |
| 06518X0026/P2 | RHA | 01 | TOSSIAT | Forage de Tossiat (Mulaty) | 829 960 | 2 130 600 | Alluvions fluvioglaciers Couloir de Certines - nappe du SE de Bourg-en-Bresse | 151a | | 5 | H | |
| 06742X0001/VILLEN | RHA | 01 | VILLENEUVE | Forage de Villeneuve (Muzard) - BRGM | 793 109 | 2 116 187 | Cailloutis plioquaternaires de la Dombes | 151a | | 3 | B | La nappe des cailloutis de la Dombes se stabilise puis tend à la faible baisse, durant ce dernier mois. Ses niveaux restent hauts (proches de valeurs quinquennales de hautes-eaux), mais, en cette saison habituelle de baisse, la situation relative évolue défavorablement par rapport au mois dernier. |
| 06993X0226/MEXI_2 | RHA | 01 | MEXIMIEUX | Forage de Combe Mercier (Meximieux 2) | 823 425 | 2 103 250 | Alluvions fluvioglaciers de la Plaine de l'Ain | 151f | | 5 | B | La nappe des alluvions fluvioglaciers de la plaine de l'Ain profite à nouveau d'une recharge en milieu de mois, alors qu'elle avait amorcé une décrue logique. Ainsi soutenus, ses très hauts niveaux se maintiennent (hautes-eaux plus que décennales). La situation relative ne change pas par rapport au mois précédent (tendance actuelle à la vidange). |
| 08435X0010/NO8 | RHA | 26 | SAOU | Forage le Pertuis | 818 927 | 1 965 401 | Petite plaine d'alluvions susjacentes aux calcaires | 179 | | 4 | H | La nappe du synclinal de Saou (système mixte karst-alluvions) profite à nouveau de 2 épisodes de recharge durant le mois de février. Ses niveaux se maintiennent à hauteur de hautes-eaux presque décennales pour la saison. La situation relative de la nappe évolue favorablement par rapport au mois précédent. |
| 07948X0038/S | RHA | 26 | ROMANS-sur-Isère | Piézo. de Romans (Les Balmes - La Ferme) | 810 313 | 2 009 638 | Alluvions de l'Isère | 152m | IG n°25 | 5 | H | La nappe des alluvions anciennes de l'Isère en Plaine de Valence poursuit sa tendance haussière sur tout le dernier mois. Ses niveaux progressent encore au même rythme, au-dessus des très hauts niveaux historiques de saison (supérieurs à de hautes-eaux vicennales). La situation relative ne change pas. |
| 08184X0084/PZ1 | RHA | 26 | VALENCE | piezomètre Valence 2 (Nord Ferme Agiron) | 807 001 | 1 997 439 | Alluvions fluvioglaciers de la Plaine de Valence | 154a | | 5 | H | La nappe des alluvions anciennes en Plaine de Valence poursuit une hausse inexorable depuis le début de l'année. Ses niveaux progressent très au-dessus des hautes-eaux décennales de saison. La situation relative de la nappe évolue très favorablement. |
| 08915X0026/PZ | RHA | 26 | NYONS | piezomètre de Nyons | 821 830 | 1 931 610 | Alluvions de l'Eygues | 155a | | 5 | S | La nappe d'accompagnement de la rivière Eygues reste installée à de très hauts niveaux historiques, en hausse sur le mois (>fréquence décennale de hautes-eaux). La situation relative ne change pas par rapport au mois précédent. |
| 09153X0024/S | RHA | 26 | PLAISANS | Piézo. d'Aygues-Astaud (Les Eygaliers) | 836 645 | 1 918 840 | Calcaires lithoniques des Baronnies | 544e | | 3 | I | (point au 14 décembre 2013) La nappe des calcaires karstifiés du Diois - Baronnies tend à se vidanger progressivement depuis début Novembre. En période habituelle de reprise elle perd de son volume, avec des niveaux à peine supérieurs aux moyennes de saison. La situation relative n'évolue pas. |
| 07704X0079/S | RHA | 26 | MANTHES | Piézo. de la source de Manthes (Lapailanche) | 809 650 | 2 037 490 | Alluvions fluvioglaciers de la Plaine de Valloire | 152k | | 5 | H | La nappe des alluvions de la Plaine de Valloire prolonge sa hausse durant la première quinzaine de Février avant de ses stabiliser à de très hauts niveaux. Ceux-ci dépassent les valeurs de hautes-eaux décennales pour la saison. La situation relative ne change pas. |
| 07944X0049/S | RHA | 26 | MARGES | Puit Deroux | 812 155 | 2 018 705 | Molasse miocène du Bas-Dauphiné - Terres Froides | 152i | IG n°25 | 4 | H | La nappe de la molasse Miocène poursuit sa recharge hivernale. Ses niveaux progressent partout à la hausse, régulière, en atteignant désormais des valeurs très au-dessus des médianes de saison (hautes-eaux décennales). En période habituelle de recharge, cette dynamique soutenue contribue à faire évoluer très favorablement la situation |
| 08188X0045/BERN | RHA | 26 | MONTMEYRAN | Piezomètre de Montmeyran (Bernoir) | 808 450 | 1 986 990 | Molasse miocène du Bas-Dauphiné - Plaine de Valence Sud / Drôme RD | 152i | | 5 | H | |
| 07464X0005/SM3 | RHA | 38 | MOIDIEU-DETOURBE | Forage de Moideu-Détourbe (Le Grand Champ) | 810 150 | 2 058 550 | Alluvions fluvioglaciers des Vallées de Vienne | 152p | | 5 | H | La nappe des alluvions fluvioglaciers des vallées de Vienne prolonge sa tendance haussière sur tout Février. Elle conserve des niveaux de très hautes-eaux (au-dessus des valeurs décennales). Confirmant sa dynamique et ses hauts niveaux antérieurs, la situation relative ne change pas par rapport au mois précédent. |
| 07703X0043/SDC | RHA | 38 | BOUGE-CHAMBALUD | forage de Bouge-Chambalud (Bel Air) | 801 824 | 2 040 982 | Alluvions fluvioglaciers de la Plaine de Valloire | 152k | | 5 | H | Les nappes du Bas Dauphiné en Plaine de Bièvre-Valloire poursuivent encore leur recharge durant tout Février. Les niveaux progressent de façon régulière et continue, confirmant des valeurs supérieures aux hautes-eaux décennales (historiquement hautes en certains secteurs). Dans ce contexte, la situation relative, déjà très favorable, ne change pas. |
| 07476X0029/S | RHA | 38 | PENOL | piezomètre Bois des Burettes | 823 560 | 2 044 566 | Alluvions fluvioglaciers de la Plaine de Bièvre | 152k | | 5 | H | |
| 07266X0052/PS4 | RHA | 73 | AITON | piezomètre d'Aiton | 905 060 | 2 070 480 | Alluvions de l'Isère en Combe de Savoie | 325a | | 5 | H | La nappe d'accompagnement de l'Isère en Combe de Savoie profite d'une recharge en début de mois, avant de fléchir sur la 2eme quinzaine de Février. Ses niveaux progressent avant de retomber à des niveaux équivalents à ceux du mois dernier, entre fréquence quinquennale et décennale de hautes-eaux. La situation relative ne change pas. |
| 07494X0026/CRUET | RHA | 73 | CRUET | piezomètre de Cruet - BRGM | 894 310 | 2 065 030 | Alluvions de l'Isère en Combe de Savoie | 325a | | 4 | S | |
| 06741X0046/F1PLIO | RHA | 69 | ST GEORGES DE RENEINS | Forage F1 Pliocène - BRGM | 785 852 | 2 118 865 | Pliocène du Val-de-Saône | 540b | IG n°24 | 5 | H | La nappe du Pliocène du Val de Saône marque une très forte recharge en milieu de mois de Février, avant de fléchir le reste du mois. Malgré cette tendance actuelle baissière, ses niveaux auront nettement progressé à la hausse (niveaux quinquennaux à décennaux pour la saison). La situation relative évolue favorablement. |
| 06505X0080/FORC | RHA | 69 | TAPONAS | Piezomètre de Taponas | 787 450 | 2 129 350 | Pliocène du Val-de-Saône | 540c | | 4 | H | |
| 06995C0271/S | RHA | 69 | GENAS | piezomètre d'Azieu | 810 100 | 2 086 770 | Alluvions fluvioglaciers du couloir de Meyzieu | 152c | | 5 | H | La nappe de l'Est Lyonnais dans le couloir de Meyzieu prolonge encore sa recharge sur le dernier mois. Ses niveaux progressent, en dépassant les très hautes-eaux de fréquence décennale en cette saison, sur l'ensemble du couloir. La situation relative évolue favorablement. |
| 06995C0208/S1 | RHA | 69 | GENAS | Piezomètre des Bouvarets | 810 920 | 2 084 985 | Alluvions fluvioglaciers du couloir de Meyzieu | 152c | | 5 | H | |

| Code BSS (indice / désignation) | Région | Dépt. | Commune | Lieu-dit (ou nom du point) | Lambert 2 Etendu (m) | | Entité hydrogéologique (Réf BDRHF v1) | | Indicateur national | Niveau des nappes | Evolution récente | Commentaires |
|---------------------------------|--------|-------|----------------------|--------------------------------------|----------------------|-----------|---|-------|---------------------|-------------------|-------------------|---|
| | | | | | X | Y | Nom | Code | | | | |
| 07224X0106/S | RHA | 69 | ST PRIEST | piézomètre d'Heyrieux (Cheval-Blanc) | 806 760 | 2 078 920 | Alluvions fluvio-glaciaires de la Plaine de l'est Lyonnais - couloir d'Heyrieux | 152e | | 5 | H | La nappe de l'Est Lyonnais dans le couloir d'Heyrieux poursuit également sa recharge en la ralentissant, pendant Février. Ses niveaux progressent à la hausse avant de se stabiliser à de très hautes valeurs (au-dessus des valeurs de fréquence décennale sur l'ensemble du couloir), et en hausse toujours en cours pour la partie centrale du bassin. Dans ce contexte, la situation relative n'évolue pas par rapport au mois dernier. |
| 07231C0252/BUCLAY | RHA | 69 | HEYRIEUX | piézomètre de Buclay | 810 850 | 2 074 700 | Alluvions fluvio-glaciaires de la Plaine de l'est Lyonnais - couloir d'Heyrieux | 152e | | 5 | H | |
| 07223C0113/S | RHA | 69 | CORBAS | piézomètre de Corbas (Pillon) | 799 840 | 2 075 150 | Alluvions fluvio-glaciaires de la Plaine de l'est Lyonnais - couloir d'Heyrieux (Mions) | 152e | | 5 | H | |
| 07221D0023/S | RHA | 69 | VOURLES | Piezomètre de Millery | 788 520 | 2 075 240 | Alluvions fluvio-glaciaires du Garon | 621d | | 4 | S | La nappe des alluvions fluvio-glaciaires de la vallée du Garon reste globalement stable sur ce dernier mois. Elle maintient de hauts niveaux (proches mais supérieurs aux valeurs quinquennales de hautes-eaux) avec un léger fléchissement final. La situation relative n'évolue pas. |
| 09934X0087 | PACA | 13 | ST MARTIN DE CRAU | Le Mas d'Archimbaud (P18B) | 799 788 | 1 851 732 | Plaine de la Crau | 157 | | 5 | H | La nappe de la Crau est haute en ce mois de février, quel que soit le secteur : aussi bien en Arles que dans les secteurs de Saint-Martin-de-Crau ou d'Istres, les niveaux ont monté de parfois plus de 1 m en un mois, conséquence des précipitations importan |
| 10193X0151 | PACA | 13 | ISTRES | Peyre-Estève (P29B) | 807 453 | 1 841 949 | Plaine de la Crau | 157 | | 5 | H | |
| 09952X0082 | PACA | 13 | MEYRARGUES | Péage Pont de Pertuis | 857 870 | 1 853 429 | Alluvions de la basse Durance | 329f | | 5 | H | |
| 09952X0093 | PACA | 84 | PERTUIS | Campagne Martelly | 857 624 | 1 857 733 | Alluvions de la basse Durance | 329f | | 2 | H | La nappe de la Durance, aussi bien dans la vallée de la moyenne Durance que dans celle de la basse Durance a connu une crue importante en février, vac un pic plus ou moins étalé, de près de un mètre. Dans la plupart des points, la décrue n'est pas amorcée |
| 09436X0138 | PACA | 05 | LA BRILLANNE | Princesse | 885 806 | 1 888 962 | Alluvions de la Durance moyenne et amont et de ses affluents | 329e | | 2 | B | |
| 09146X0074 | PACA | 84 | CAMARET-SUR-AIGUES | Quartier Jonquier Morelle | 801 046 | 1 909 656 | Plaine d'Orange Sud | 155b | IG n°30 | 0 | I | Depuis la mi janvier, la hausse des niveaux piézométriques est continue dans les points dont les données sont disponibles dans les nappes des plaines de Vaucluse : + 60 cm à + 120 cm selon les endroits. Là encore, les données disponibles montrent que les |
| 10247X0096 | PACA | 83 | FREJUS | L'Argens | 952 806 | 1 834 907 | Alluvions de l'Argens | 332 | | 5 | H | Les cumuls de précipitations importants du mois de février ont engendré une série de crues dans les nappes alluviales littorales avec des pics entre 1 de 2 mètre d'amplitude par rapport aux niveaux de base. En général l'inertie de ces nappes est très faible |
| 10651X0293 | PACA | 83 | HYERES | Le Moulin Premier (P134B) | 911 548 | 1 799 348 | Alluvions du Gapeau | 333 | | 5 | H | |
| 09995X0028 | PACA | 06 | PEGOMAS | Le Boutéou | 970 976 | 1 853 723 | Alluvions de la Stagne | 331 | | 0 | I | |
| 09724X0023 | PACA | 06 | GILETTE | Le Devens (P2) | 990 486 | 1 882 246 | Alluvions de la basse vallée du Var | 330 | | 3 | H | |
| 09441X0013 | PACA | 04 | MALLEMOISSON | Le Stade | 903 460 | 1 900 062 | Alluvions de la Bléone | 329c | | 0 | I | |
| 09173X0018 | PACA | 04 | SISTERON | Puits Isnard | 888 531 | 1 917 849 | Alluvions de la haute Durance et du Buech | 329b | | 0 | I | |
| 08472X0007 | PACA | 05 | LA ROCHE DE RAME | Usine | 935 976 | 1 981 126 | Mont Genèvre, Casse déserte | 546j | | 2 | S | Contrairement aux autres nappes de la région, les aquifères de montagne n'ont que rarement connu de crues en février 2014, du fait de précipitations moindres que dans les zones littorales. Les données disponibles en février 2014 montrent une similitude av |
| 08466X0009 | PACA | 05 | ST JEAN ST NICOLAS | Les Ricoux | 907 683 | 1 970 754 | Trièves, Beaumont, Champsaur Sud | 545a | | 3 | B | |
| 08944X0003 | PACA | 04 | LE LAUZET - UBAYE | La source Pruneyret | 925 470 | 1 945 810 | Queyras - Parpaillon | 546k | | 0 | I | |
| 09672X0036 | PACA | 84 | FONTAINE-DE-VAUCLUSE | Sorgomètre, vasque supérieure | 824 783 | 1 883 573 | Monts du Vaucluse | 162 | IG n°29 | 0 | I | Pas de données disponible en date de rédaction du bulletin, mais il est probable que des épisodes de crue seront visibles dans les systèmes du Var et du Vaucluse. |
| 10453X0295 | PACA | 83 | LA ROQUEBRUSSANNE | Chemin de Cuers | 896 946 | 1 820 685 | Provence Est (aquifère karstique de la Loube) | 552 | | 5 | H | |
| 10241X0173 | PACA | 83 | LA MOTTE | Combaron | 939 967 | 1 842 688 | Plan de Canjuers - région de Fayence | 168c | | 4 | B | |
| 09978X0023 | PACA | 83 | CHATEAUDOUBLE | Nartuby, Source des Frayères | 930 341 | 1 851 639 | Plan Canjuers - Bois de Frannes | 167d | | 0 | I | |
| 10452X0232 | PACA | 83 | MAZAUGUES | source Le Caramy | 891 265 | 1 822 558 | Massifs calcaires de Sainte Baume | 164a | | 0 | I | |
| 09405X0229 | LRO | 30 | ROCHEFORT DU GARD | piézomètre de Rochefort | 790 541 | 1 890 360 | Calcaire urgonien des garrigues du Gard | 149a2 | | 5 | H | En contexte de fortes précipitations, les niveaux piézométriques sont en hausse. La situation de l'aquifère s'améliore et devient excédentaire. |
| 09395X0065 | LRO | 30 | SAINTE ANASTASIE * | piézomètre Nicolas | 764 488 | 1 884 139 | Calcaire urgonien des garrigues du Gard BV du Gardon | 149b | IG n°26 | 4 | H | En contexte de fortes précipitations, le niveau piézométrique est en hausse. La situation de l'aquifère reste favorable. |
| 09388X0052 | LRO | 30 | LA CALMETTE | piézomètre de Vignot | 754 727 | 1 883 488 | Alluvions moyens du Gardon | 336c | | 4 | H | En contexte de fortes précipitations, les niveaux piézométriques sont en hausse. La situation de l'aquifère est favorable. |
| 09652X0199 | LRO | 30 | NÎMES / COURBESSAC * | Piezomètre Courbessac | 766 813 | 1 874 520 | Alluvions quaternaires ey Villafranchiennes de la Vistrenque | 150a | | 3 | H | En contexte de précipitations significatives sur le secteur gardois, on observe une hausse généralisée des niveaux piézométriques. Les situations sont stables ou s'améliorent et sont comprises entre des niveaux favorables à excédentaires. Les faibles précipitations sur le secteur héraultais conduisent à une stabilisation des niveaux piézométriques et des situations sur les karsts montpelliérains qui vont de déficitaires à normales. |
| 09917X0192 | LRO | 34 | MARSILLARGUES / P5 | Piezomètre P5CEHM | 748 165 | 1 849 435 | Aquifère Villafranchien de mauguio Lunel | 328e | | 3 | H | En contexte de précipitations significatives, le niveau piézométrique est en hausse. La situation de l'aquifère s'améliore et devient normale. |
| 09915X0181 | LRO | 34 | SAINT-AUNES | piézomètre de Saint Aunes | 732 653 | 1 849 259 | Aquifère villafranchien de Manguio Lunel | 328e | | 4 | S | Matériel en panne, point chez particuliers absent en ce moment. |
| 09907X0321 | LRO | 34 | ST JEAN DE VEDAS * | Piezomètre Midi Libre | 722 815 | 1 842 290 | Calcaires jurassiques Pli occidental de Montpellier - Gardiole Etang de Thau | 143c | | 3 | S | En contexte de précipitations limitées, le niveau piézométrique se stabilise. La situation de l'aquifère reste normale. |
| 10162X0226 | LRO | 34 | COURNONSEC * | piézomètre de Vène | 709 938 | 1 837 862 | Calcaire jurassique pli ouest de Montpellier | 143a | | 1 | S | En contexte de précipitations limitées, le niveau piézométrique est en baisse. La situation de l'aquifère reste déficitaire. |
| 10157X0104 | LRO | 34 | FLORENSAC * | piézomètre 1777 | 689 086 | 1 822 874 | Alluvions de l'Hérault | 334b | IG n°27 | 3 | H | En contexte de faibles précipitations, le niveau piézométrique est en hausse. La situation de l'aquifère reste normale. |
| 10405X0124 | LRO | 34 | SERIGNAN | Sérignan F17 | 676 631 | 1 812 950 | Alluvions de l'Orb | 336 | | 1 | H | Malgré le contexte de faibles précipitations, le niveau piézométrique est en hausse. Toutefois, la situation de l'aquifère reste déficitaire. |
| 10405X0171 | LRO | 34 | VALRAS | Valras | 676 325 | 1 804 274 | Astien d'Agde Valras | 226 | | 3 | S | |
| 10416X0237 | LRO | 11 | TREVILLE | piézomètre de Tréville | 569 530 | 1 820 374 | Graviers, grès et calcaires éocènes - secteur de Castelnaudary | 214 | | | | point non représentatif car tendance continue à la diminution niveaux |
| 10592X0012 | LRO | 11 | COUFFOULENS | piézomètre de Couffoulens | 597 806 | 1 794 807 | Alluvions de l'Aude | 337b | | 5 | S | En contexte de précipitations significatives, le niveau piézométrique est stable. La situation de l'aquifère s'améliore et devient excédentaire. |
| 10396X0162 | LRO | 11 | MOUSSAN * | piézomètre de Védillan | 652 664 | 1 803 412 | Alluvions de la basse vallée de l'Aude | 337a | | 4 | H | En contexte de précipitations significatives, le niveau piézométrique est en hausse. La situation de l'aquifère reste favorable. |
| 10911X0219 | LRO | 66 | ST HIPPOLYTE | Piezomètre Hippo | 650 708 | 1 752 923 | Alluvions quaternaires du Roussillon | 146 | | 2 | S | En contexte de précipitations limitées, le niveau piézométrique se stabilise. La situation de l'aquifère reste défavorable. |
| 10972X0003 | LRO | 66 | ALENYA | Alenya | 652 718 | 1 737 620 | Alluvions quaternaires du Roussillon | 146 | IG n°28 | 3 | S | En contexte de précipitations limitées, le niveau piézométrique se stabilise. La situation de l'aquifère se détériore et devient normale. |
| 10908X0263 | LRO | 66 | PERPIGNAN | Piezomètre Figuières | 641 491 | 1 742 808 | Aquifère pliocène du Roussillon | 225 | | 3 | S | En contexte de précipitations limitées, le niveau piézométrique se stabilise. La situation de l'aquifère se détériore et devient normale |
| 10912X0112 | LRO | 66 | LE BARCARES PN3 | Piezomètre Barcarès plage N3 | 657502 | 1754148 | Aquifère pliocène supérieur du Roussillon | 225 | | 2 | S | En contexte de précipitations limitées, le niveau piézométrique est stable. La situation de l'aquifère reste défavorable. |